

Etude de la 2^{ème} détection

T-149

$\Phi(x_2/x_1)$ = Probabilité conditionnelle de détecter le 2^{ème} atome en x_2 sachant que l'on détecte le 1^{er} en x_1 .

$$\Phi(x_2/x_1) = \frac{\Phi(x_2, x_1)}{\Phi(x_1)}$$

$$= \frac{1}{N(N-1)} \langle \zeta^{(1)} | \hat{a}_1^+ \hat{a}_1 + \hat{a}_2^+ \hat{a}_2 | \zeta^{(1)} \rangle$$

$$+ \frac{1}{N(N-1)} \left[\langle \zeta^{(1)} | \hat{a}_1^+ \hat{a}_2 | \zeta^{(1)} \rangle e^{2i\pi x_2} + c.c. \right]$$

Terme en $\langle \hat{a}_1^+ \hat{a}_1 + \hat{a}_2^+ \hat{a}_2 \rangle$

$$\frac{1}{N(N-1)} (N-1) \langle \zeta^{(1)} | \zeta^{(1)} \rangle = \frac{1}{N(N-1)} (N-1)N = 1$$

Termes en $\langle \hat{a}_1^+ \hat{a}_2 \rangle$ et $\langle \hat{a}_2^+ \hat{a}_1 \rangle$

$$\frac{1}{N(N-1)} \frac{N}{2} \left(\langle \frac{N}{2}-1, \frac{N}{2} | + e^{-2i\pi x_1} \langle \frac{N}{2}, \frac{N}{2}-1 | \right)$$

$$\hat{a}_1^+ \hat{a}_2 \left(| \frac{N}{2}-1, \frac{N}{2} \rangle + e^{2i\pi x_1} | \frac{N}{2}, \frac{N}{2}-1 \rangle \right) e^{2i\pi x_2} + c.c.$$

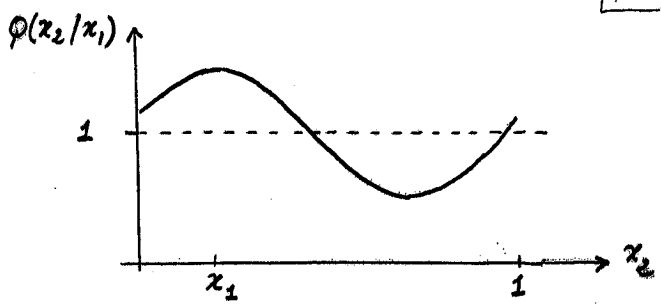
$$= \frac{1}{N(N-1)} \frac{N^2}{4} e^{2i\pi(x_2-x_1)} + c.c.$$

$$= \frac{N}{2(N-1)} \cos 2\pi(x_2-x_1) \approx \frac{1}{2} \cos 2\pi(x_2-x_1)$$

si $N \gg 1$

Allure de $\Phi(x_2/x_1) = 1 + \frac{1}{2} \cos 2\pi(x_2-x_1)$

T-150



Alors que $\Phi(x_1)$ est uniforme, $\Phi(x_2/x_1)$ présente, en fonction de x_2 , une oscillation spatiale d'amplitude relative 1/2 par rapport à la moyenne spatiale de $\Phi(x_2/x_1)$ (qui vaut 1) et de phase $\varphi_1 = 2\pi x_1$. $\Phi(x_2/x_1)$ est maximal pour $x_2 = x_1$.
Alors que les franges ne sont pas visibles sur $\Phi(x_1)$, elles ont une visibilité 1/2 sur $\Phi(x_2/x_1)$ après la 1^{ère} détection.
On peut utiliser $\Phi(x_2/x_1)$ pour tirer au sort x_2 suivant cette loi de probabilité.

Généralisation

T-151

$$|\zeta^{(2)}\rangle = \hat{\Psi}(x_2) \hat{\Psi}(x_1) | \frac{N}{2}, \frac{N}{2} \rangle$$

$$\langle \zeta^{(2)} | \zeta^{(2)} \rangle = \langle \frac{N}{2}, \frac{N}{2} | \hat{\Psi}^+(x_1) \hat{\Psi}^+(x_2) \hat{\Psi}(x_2) \hat{\Psi}(x_1) | \frac{N}{2}, \frac{N}{2} \rangle$$

$$= \frac{N!}{(N-2)!} \Phi(x_2, x_1)$$

$$\Phi(x_3/x_2, x_1) = \frac{\Phi(x_3, x_2, x_1)}{\Phi(x_2, x_1)}$$

$$= \frac{(N-3)!}{N!} \frac{1}{\Phi(x_2, x_1)} \times$$

$$\langle \zeta^{(2)} | \hat{a}_1^+ \hat{a}_1 + \hat{a}_2^+ \hat{a}_2 + \hat{a}_3^+ \hat{a}_3 e^{2i\pi x_3} + \hat{a}_2^+ \hat{a}_3 e^{-2i\pi x_3} | \zeta^{(2)} \rangle$$

Terme en $\langle \hat{a}_1^+ \hat{a}_1 + \hat{a}_2^+ \hat{a}_2 \rangle$

$$\frac{(N-3)!}{N!} \frac{1}{\Phi(x_2, x_1)} (N-2) \langle \zeta^{(2)} | \zeta^{(2)} \rangle = 1$$

Termes en $\langle \hat{a}_1^+ \hat{a}_2 \rangle$ et $\langle \hat{a}_2^+ \hat{a}_1 \rangle$

$$A(x_2, x_1) \cos[2\pi x_3 - \varphi(x_2, x_1)]$$

Et ainsi de suite ...

$$\Phi(x_k/x_{k-1} \dots x_1) =$$

$$1 + A(x_{k-1} \dots x_1) \cos[2\pi x_k - \varphi(x_{k-1} \dots x_1)]$$

Procédure de la simulation

T-152

- On tire au hasard x_1 , entre 0 et 1
- On calcule $\Phi(x_2/x_1) = 1 + A(x_1) \cos[2\pi x_2 - \varphi(x_1)]$
 $A(x_1) = \frac{1}{2}$ $\varphi(x_1) = 2\pi x_1$
- On tire une valeur de x_2 suivant la loi de probabilité $\Phi(x_2/x_1)$
- On calcule $\Phi(x_3/x_2, x_1) = 1 + A(x_2, x_1) \cos[2\pi x_3 - \varphi(x_2, x_1)]$
Le calcul analytique de $A(x_2, x_1)$ et $\varphi(x_2, x_1)$ devient de plus en plus complexe
Il est plus simple de calculer 2 valeurs de $\Phi(x_3/x_2, x_1)$ numériquement pour 2 valeurs x_3' et x_3'' de x_3 et d'en déduire les valeurs numériques des 2 paramètres du problème $A(x_2, x_1)$ et $\varphi(x_2, x_1)$
- On tire une valeur de x_3 suivant la loi $1 + A(x_2, x_1) \cos[2\pi x_3 - \varphi(x_2, x_1)]$
- Et ainsi de suite ...